



Cinemática Relativística em Física de Partículas

Introdução à análise de dados em FAE e tecnologias associadas

PROFESSORES:

Dilson de Jesus Damião - Eliza Costa - Mauricio Thiel

Sumário

- Motivações
- Transformações de Lorentz
- Sistemas de referência para processos de colisão em FAE
- Variáveis cinemáticas
- Variáveis de Mandelstam
- Seção de Choque
- Espaço de Fase
- Resultados da Seção de Choque Exp.

Motivações

- Introdução dos princípios básicos, aplicações práticas e métodos conhecidos dos aspectos da FAE que são baseados puramente na cinemática.
- Cinemática pode ser definida como “a geometria do movimento”
- Cinemática relativística é uma aplicação da relatividade especial para reações com partículas elementares.
- Do ponto de vista da puramente cinemático, partículas são completamente caracterizados por suas energias e momentum (ex. seus quadrimomentum p);
- As reações de partículas observáveis são por tanto os decaimentos ou colisões;
- Os números quânticos internos são irrelevantes para a cinemática das partículas elementares.

Postulados da Relatividade Restrita

- As Leis da Física são as mesmas em todos os referenciais inerciais.
- A velocidade da luz no vácuo tem sempre o mesmo valor c , independente do movimento da fonte.

- Algumas consequências
 - Dilatação do tempo



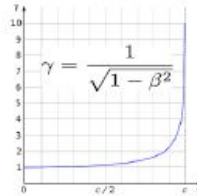
- $[S = \text{Terra}]$; $[S' = \text{referencial da nave}]$
- experimento feito na nave na posição fixa z_0' .

$$\begin{cases} t_1 = \gamma (t'_1 + \beta z'_0) \\ t_2 = \gamma (t'_2 + \beta z'_0) \end{cases}$$

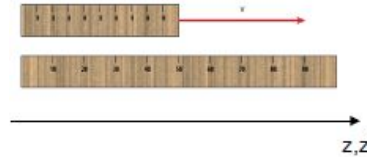
- duração do experimento

$$\Delta t = \gamma \Delta t' = \gamma \tau$$

τ = tempo próprio = tempo no referencial onde ocorre o experimento.



- Algumas consequências
 - Contração das distâncias



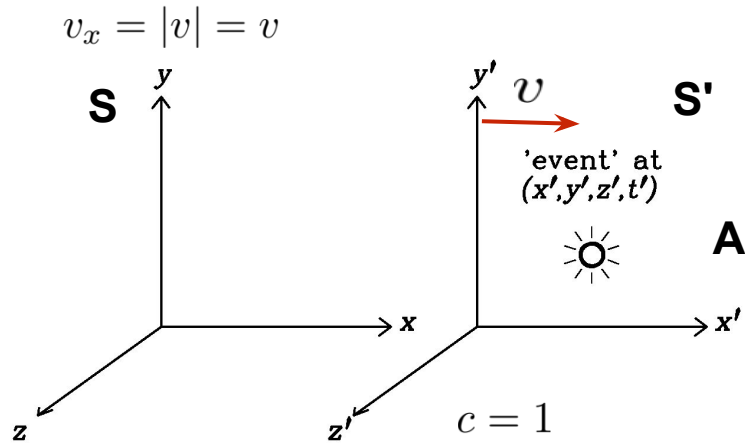
- régua em repouso em S'
- S' em movimento em relação a S
- comprimento = diferença entre as extremidades.

- Como a régua está em movimento em S , as extremidades devem ser medidas ao mesmo tempo t_0 .

$$\left. \begin{aligned} z'_1 &= \gamma (z_1 - \beta t_0) \\ z'_2 &= \gamma (z_2 - \beta t_0) \end{aligned} \right\} \Delta z = \frac{\Delta z'}{\gamma} = \frac{L_0}{\gamma}$$

L_0 é o comprimento próprio!

Transformações de Lorentz



- Considerando um ponto A no espaço tempo onde:
 - S pode ser descrito (x, y, z, t)
 - S' (em movimento) pode ser descrito (x', y', z', t')
- Considerando que o sistema S' se move com uma velocidade constante v ao longo do eixo x

Fator de Lorentz

$$\gamma = \frac{1}{\sqrt{1 - v^2}}$$

$S \Rightarrow S'$

$$\begin{aligned} x' &= \gamma(x - vt) \\ y' &= y \\ z' &= z \\ t' &= \gamma(t - vx) \end{aligned}$$

$S' \Rightarrow S$

$$\begin{aligned} x &= \gamma(x' + vt') \\ y &= y' \\ z &= z' \\ t &= \gamma(t' + vx') \end{aligned}$$

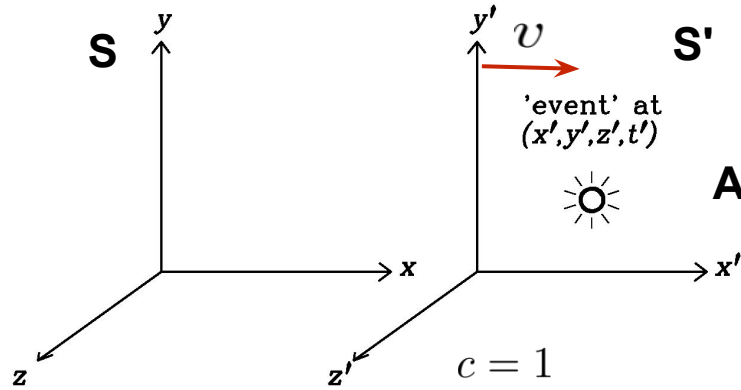
Invariante de Lorentz

$$c^2 t^2 - x^2 - y^2 - z^2 = 0$$

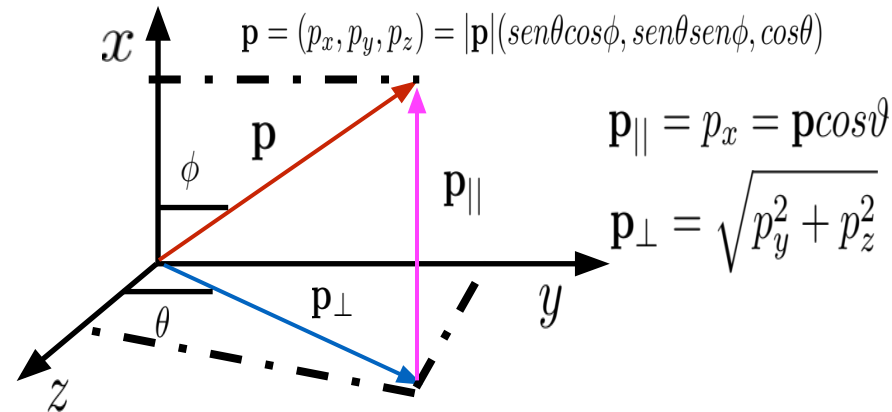
$$c^2 t'^2 - x'^2 - y'^2 - z'^2 = 0$$

Transformações de Lorentz

$$v_x = |v| = v$$



- Considerando que o quadri-momentum
 - $S \rightarrow \mathbf{p} \equiv (\mathbf{E}, p) = (\mathbf{E}, p_x, p_y, p_z)$
 - $S' \rightarrow \mathbf{p}' \equiv (\mathbf{E}', p') = (\mathbf{E}, p'_x, p'_y, p'_z)$
- As transformações de Lorentz para o quadri-momentum, considerando $S \Rightarrow S'$



$$\begin{aligned} p'_x &= \gamma(p_x - vE) \\ p'_y &= p_y \\ p'_z &= p_z \\ E' &= \gamma(E - vp_x) \end{aligned}$$

fator de Lorentz

$$\gamma = \frac{1}{\sqrt{1 - v^2}}$$

Noções e Convenções

Unidades Naturais

$$c = \hbar = 1$$

Coordenadas Espaço-Tempo
Vetor contravariante

$$x^\nu = (x^0, x^1, x^2, x^3) = (t, \vec{x}) = (t, x, y, z)$$

Momentum e Energia Relativística

$$p = \gamma \beta m$$

$$E = \gamma m$$

m = massa de repouso

Vetor quadrimomentum

$$p^\mu = (p^0, p^1, p^2, p^3) = (E, \vec{p}) = (E, \vec{p}_T, p_z) = (E, p_x, p_y, p_z)$$

Momentum escalar de dois quadrivetores a e b

$$a.b = a^0 b^0 - \vec{a}.\vec{b}$$

Relação entre energia e momentum

$$E^2 = p^2 + m^2$$

$$p^2 = p^\mu p_\mu = E^2 - |\mathbf{p}|^2 = m^2$$

Velocidade da partícula:

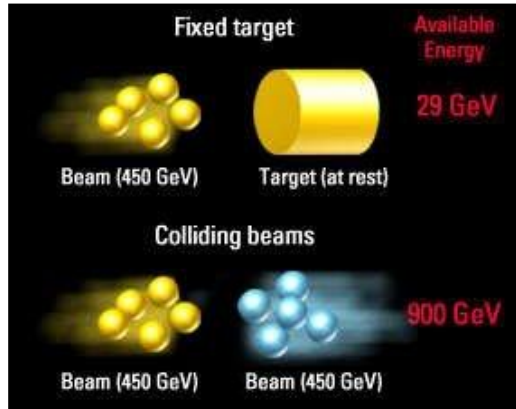
$$\beta = \frac{\mathbf{p}}{E}$$

$$\gamma = (1 - \beta^2)^{-1/2} = E/m$$

Sistemas de coordenadas

Consideremos a colisão de duas partículas de quadrimomentum

$$(E_a, \vec{p}_a) \quad (E_b, \vec{p}_b)$$



Na descrição destas colisões, dois sistemas de referência são usualmente utilizados:

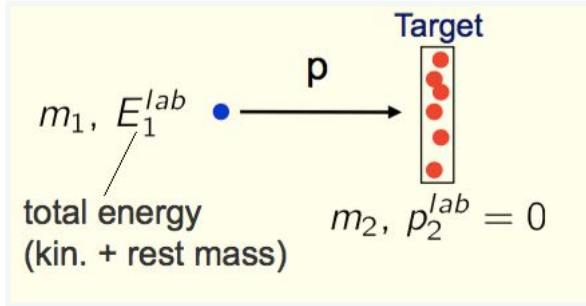
- Sistema de Centro de Massa (CM): é o sistema onde:

$$\vec{p}_a + \vec{p}_b = 0$$

- **Sistema de Laboratório (LAB):** é o sistema no qual são feitas as medidas.
 - Em experimentos de alvo fixo este sistema coincide com o sistema do alvo, onde uma das partículas encontra-se em repouso (e.g. b): $\vec{p}_b = 0$
 - Nos experimentos de anéis de colisão, onde feixes de partículas idênticas colidem em direções opostas, este sistema coincide com o CM.

Sistemas de coordenadas

Sistema de Laboratório (LAB)

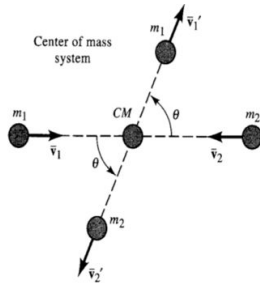


A energia total da colisão como sendo:

$$E_T = \sqrt{s} = \sqrt{m_1^2 + m_2^2 + 2E_1^{lab}m_2}$$

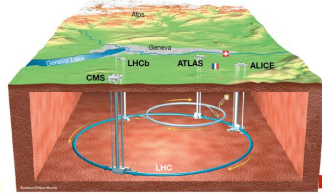
$$E_1^{lab} \gg m_1, m_2 \longrightarrow E_T \approx \sqrt{s} \approx \sqrt{2E_1^{lab}m_2}$$

Sistema de Centro de Massa (CM)



A energia total da colisão como sendo:

$$E_T = \sqrt{s} = \sqrt{m_1^2 + m_2^2 + 2E_1E_2(1 - \beta_1\beta_2\cos\theta)}$$



Collider:



$$\begin{matrix} \mathbf{p}_1 = -\mathbf{p}_2 \\ m_1 = m_2 \end{matrix} \longrightarrow E_T = \sqrt{s} = 2E_1$$

Sistemas de coordenadas

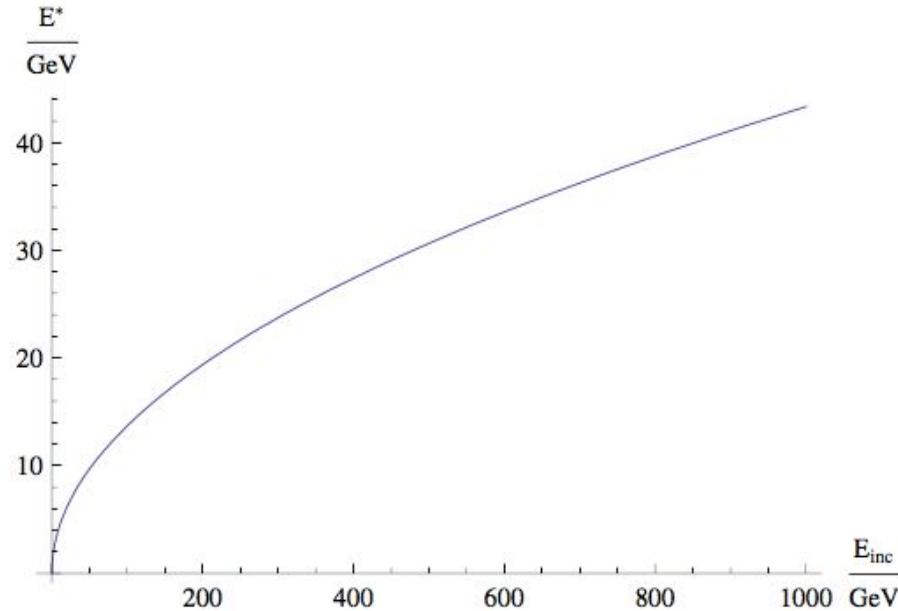
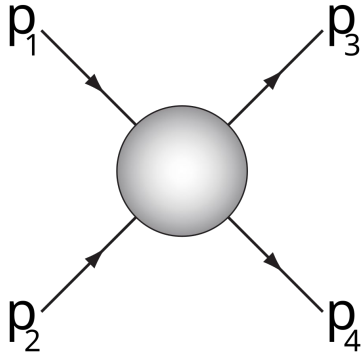


Figure 4.3: *Center of mass energy of the colliding beam for a fixed target experiment. The energy increases with the square root of the beam energy.*

Variáveis de Mandelstam



Em Física de Altas Energias seção de choque e razão de decaimentos são descritos por variáveis cinemáticas que são invariantes relativísticos.

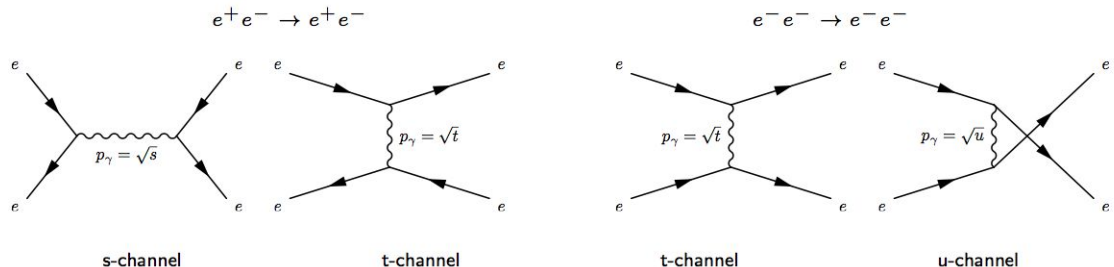
Nos decaimentos de dois corpos existem de fato quatro invariantes disponíveis desde que a energia e momentum seja conservada de somente dois deles para definir a cinemática do evento.

As variáveis de Mandelstam são invariantes de Lorentz

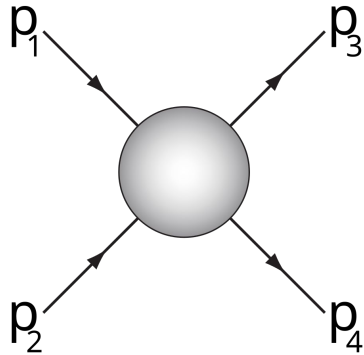
$$s = (p_1 + p_2)^2 = (p_3 + p_4)^2$$

$$t = (p_1 - p_3)^2 = (p_4 - p_2)^2$$

$$u = (p_1 - p_4)^2 = (p_3 - p_2)^2$$



Variáveis de Mandelstam

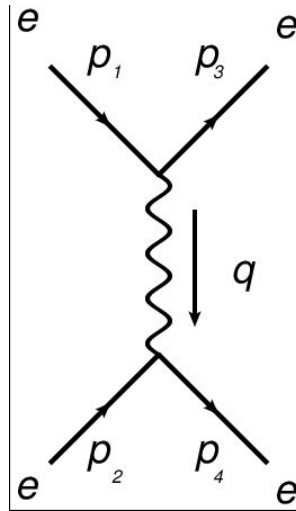


$$s = (p_1 + p_2)^2 = (p_3 + p_4)^2$$

$$t = (p_1 - p_3)^2 = (p_4 - p_2)^2$$

$$u = (p_1 - p_4)^2 = (p_3 - p_2)^2$$

Espalhamento elétron - elétron (repulsão coulombiana)



Momento transferido

$$q = p_1 - p_3 = p_4 - p_2 = \sqrt{t}$$

Energia do CM

$$p_1 = (E_1, \vec{p}) ; p_2 = (E_2, -\vec{p})$$

$$p_3 = (E_3, \vec{p}') ; p_4 = (E_4, -\vec{p}')$$

$$\sqrt{s} = E_1 + E_2 = E_3 + E_4$$

Massas iguais ou altíssimas energias ($E \gg m$)

$$\sqrt{s} = 2E_{cm} = 2E'_{cm} \longrightarrow E_{cm} = E'_{cm} = \frac{\sqrt{s}}{2}$$

Rapidez

$$\begin{pmatrix} E' \\ p'_{\parallel} \end{pmatrix} = \begin{pmatrix} \gamma_s & -\gamma_s \beta_s \\ -\gamma_s \beta_s & \gamma_s \end{pmatrix} \begin{pmatrix} E \\ p_{\parallel} \end{pmatrix}, \quad p'_{\perp} = p_{\perp}$$

Para introduzirmos o conceito de rapidez vamos escrever a transformação de Lorentz como:

$$\begin{pmatrix} E' \\ p'_{\parallel} \end{pmatrix} = \begin{pmatrix} \cosh y & -\sinh y \\ -\sinh y & \cosh y \end{pmatrix} \begin{pmatrix} E \\ p_{\parallel} \end{pmatrix}, \quad p'_{\perp} = p_{\perp}$$

onde definimos o parâmetro y chamado de rapidez através de:

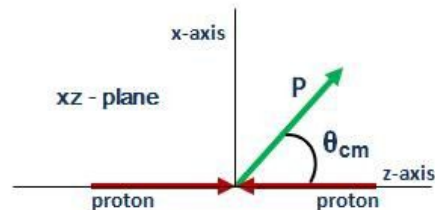
$$\beta_s = \tanh y, \quad \gamma_s = \cosh y, \quad \gamma_s \beta_s = \sinh y$$

Lembrando que:

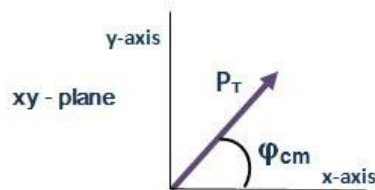
$$\sinh^{-1}(z) = \ln(z + \sqrt{z^2 + 1}), \quad \cosh^{-1}(z) = \ln(z + \sqrt{z^2 - 1}), \quad \text{e} \quad \tanh^{-1}(z) = \frac{1}{2} \ln \left(\frac{1+z}{1-z} \right)$$

Temos:

$$\begin{aligned} y &= \cosh^{-1}(\gamma) = \ln(\gamma + \gamma \beta_s) \\ &= \tanh^{-1}(\beta_s) = \frac{1}{2} \ln \left(\frac{1 + \beta_s}{1 - \beta_s} \right) \end{aligned}$$



$$\eta = -\ln[(\tan(\theta/2))]$$



$$P_T = P \cdot \sin \phi_{cm}$$

$$y = \frac{1}{2} \ln \left(\frac{E + p_z}{E - p_z} \right)$$

Rapidez

$$\begin{pmatrix} E' \\ p'_{\parallel} \end{pmatrix} = \begin{pmatrix} \gamma_s & -\gamma_s \beta_s \\ -\gamma_s \beta_s & \gamma_s \end{pmatrix} \begin{pmatrix} E \\ p_{\parallel} \end{pmatrix}, \quad p'_{\perp} = p_{\perp}$$

Para introduzirmos o conceito de rapidez vamos escrever a transformação de Lorentz como:

$$\begin{pmatrix} E' \\ p'_{\parallel} \end{pmatrix} = \begin{pmatrix} \cosh y & -\sinh y \\ -\sinh y & \cosh y \end{pmatrix} \begin{pmatrix} E \\ p_{\parallel} \end{pmatrix}, \quad p'_{\perp} = p_{\perp}$$

onde definimos o parâmetro y chamado de rapidez através de:

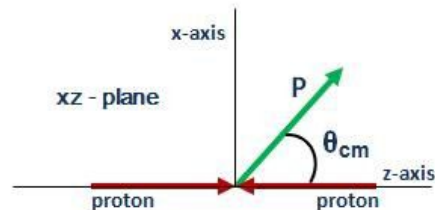
$$\beta_s = \tanh y, \quad \gamma_s = \cosh y, \quad \gamma_s \beta_s = \sinh y$$

Lembrando que:

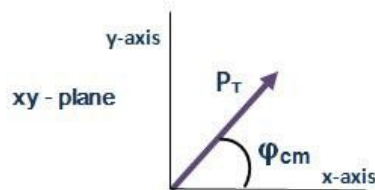
$$\sinh^{-1}(z) = \ln(z + \sqrt{z^2 + 1}), \quad \cosh^{-1}(z) = \ln(z + \sqrt{z^2 - 1}), \quad \text{e} \quad \tanh^{-1}(z) = \frac{1}{2} \ln \left(\frac{1+z}{1-z} \right)$$

Temos:

$$\begin{aligned} y &= \cosh^{-1}(\gamma) = \ln(\gamma + \gamma \beta_s) \\ &= \tanh^{-1}(\beta_s) = \frac{1}{2} \ln \left(\frac{1 + \beta_s}{1 - \beta_s} \right) \end{aligned}$$



$$\eta = -\ln[(\tan(\theta/2))]$$



$$P_T = P \cdot \sin \phi_{cm}$$

$$y = \frac{1}{2} \ln \left(\frac{E + p_z}{E - p_z} \right)$$

Pseudo-Rapidez

Para a medida da rapidez, precisamos do conhecimento de duas variáveis: E e p_z .

- Pseudo-rapidez (uma variável)

$$\eta = -\ln \left[\tan \left(\frac{\theta}{2} \right) \right]$$

- Depende apenas do ângulo de espalhamento (ou de produção)
- Definição alternativa

$$\eta = \frac{1}{2} \ln \left(\frac{|\vec{p}| + p_z}{|\vec{p}| - p_z} \right) \xrightarrow{\text{comparação}} y = \frac{1}{2} \ln \left(\frac{E + p_z}{E - p_z} \right)$$

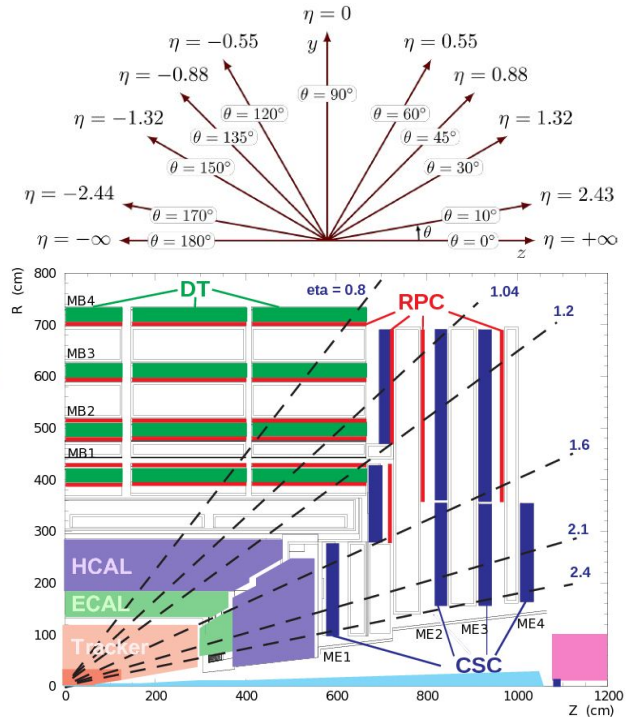
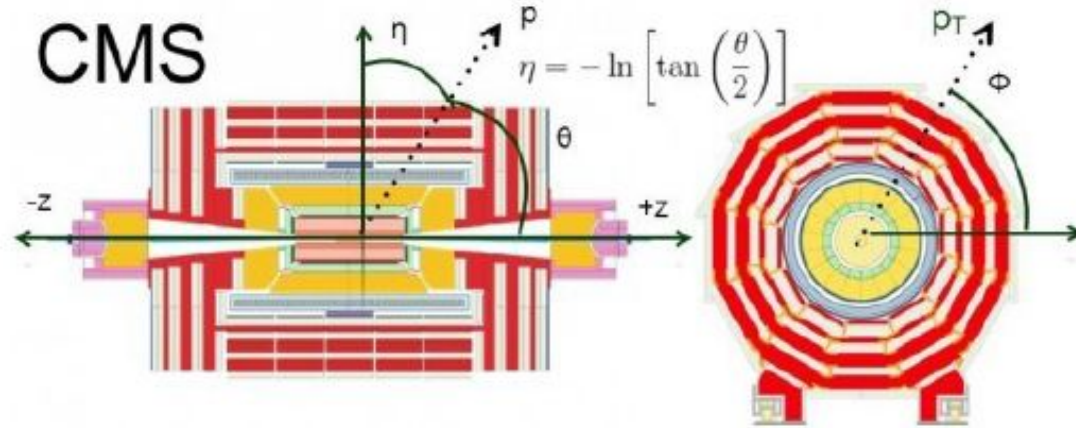
Para altas energias ou massa nula, as variáveis tendem ao mesmo valor e usando

$$E^2 = \vec{p}^2 + m^2 \approx \vec{p}^2$$

$$p_z = |\vec{p}| \cos \theta$$

Interpretação geométrica

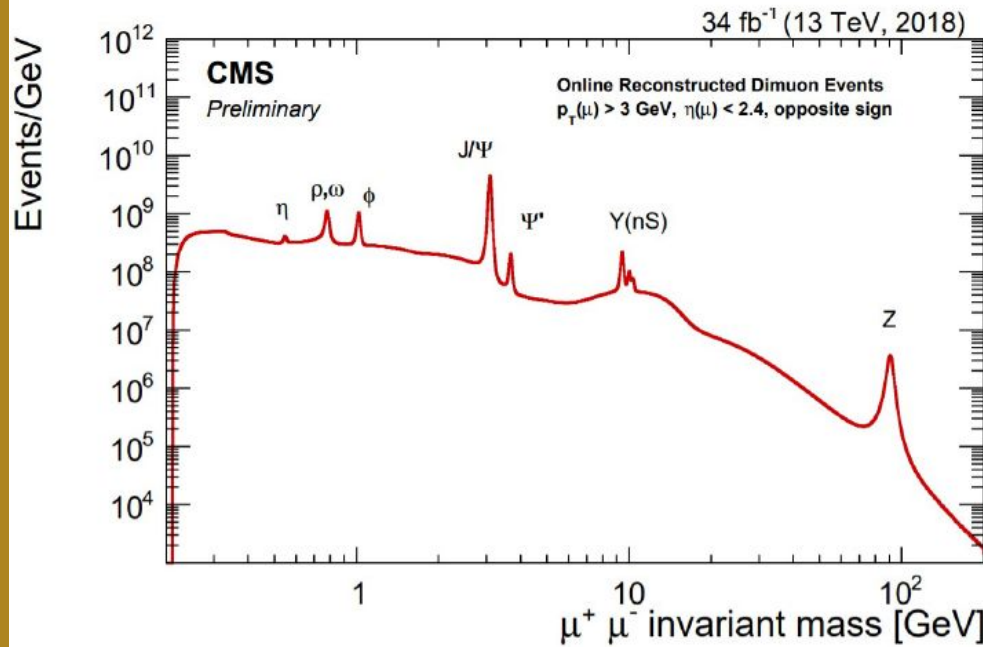
$$y|_{m=0} = \eta = \frac{1}{2} \ln \left(\frac{1 + \cos \theta}{1 - \cos \theta} \right) = -\ln \left[\tan \left(\frac{\theta}{2} \right) \right]$$



Massa Invariante

- Detecção de partículas instáveis
 - Distribuição da massa invariante para pares de dimúons

$$M = \sqrt{\left(\sum E_i\right)^2 - \left(\sum \vec{p}_i\right)^2}$$



- Observa-se nessa figura várias ressonâncias de partículas que decaíram em pares de múons
- Ela foi feita com dados públicos do CMS, conforme os exemplos a seguir

Massa invariante

Plotando um histograma

Exercício

- Utilizando as amostras do seu grupo, façam um código que:
 - plote as distribuições de p_T , η e ϕ dos objetos de estado final (léptons e jatos)
 - calcule a massa invariante dos dois léptons com maior p_T e plote-a

$$M^2 = 2p_{T1}p_{T2}(\cosh(\eta_1 - \eta_2) - \cos(\phi_1 - \phi_2))$$

- salve as figuras no formato png
- adicione, tanto o código quanto os plots, no github

Divisão dos grupos

Processos de estudo:	Amostras	Link	Dados/MC
ZZ -> 2mu2e			
Grupo 1	Simulated dataset ZZ_TuneCP5_13TeV-pythia8 in NANOADSIM format for 2016 collision data	https://opendata.cern.ch/record/75593	MC
	Simulated dataset ZZTo4L_TuneCP5_13TeV_powheg_pythia8 in NANOADSIM format for 2016 collision data	https://opendata.cern.ch/record/75589	MC
	DoubleMuon primary dataset in NANOAD format from RunG of 2016	https://opendata.cern.ch/record/30522	Dados
	MuonEG primary dataset in NANOAD format from RunG of 2016	https://opendata.cern.ch/record/30528	Dados
ZZ->4mu			
Grupo 2	Simulated dataset ZZTo4L_TuneCP5_13TeV_powheg_pythia8 in NANOADSIM format for 2016 collision data	https://opendata.cern.ch/record/75589	MC
	DoubleMuon primary dataset in NANOAD format from RunG of 2016	https://opendata.cern.ch/record/30522	Dados
ZZ->4e			
Grupo 3	Simulated dataset ZZTo4L_TuneCP5_13TeV_powheg_pythia8 in NANOADSIM format for 2016 collision data	https://opendata.cern.ch/record/75589	MC
	DoubleEG primary dataset in NANOAD format from RunG of 2016	https://opendata.cern.ch/record/30521	Dados
ZZ->2q2l			
Grupo 4	Simulated dataset ZZTo2Q2L_mllmin4p0_TuneCP5_13TeV-amcatnloFXFX-pythia8 in NANOADSIM format for 2016 collision data	https://opendata.cern.ch/record/75573	MC
	Simulated dataset ZZ_TuneCP5_13TeV-pythia8 in NANOADSIM format for 2016 collision data	https://opendata.cern.ch/record/75593	MC
	DoubleMuon primary dataset in NANOAD format from RunG of 2016	https://opendata.cern.ch/record/30522	Dados
Z->mumu			
Grupo 5	DYJetsToLL_M-50_TuneCP5_13TeV-amcatnloFXFX-pythia8	https://opendata.cern.ch/record/35669	MC
	DoubleMuon primary dataset in NANOAD format from RunG of 2016	https://opendata.cern.ch/record/30522	Dados
Z->ee			
Grupo 6	DYJetsToLL_M-50_TuneCP5_13TeV-amcatnloFXFX-pythia8	https://opendata.cern.ch/record/35669	MC
	DoubleEG primary dataset in NANOAD format from RunG of 2016	https://opendata.cern.ch/record/30521	Dados

[Link para a planilha](#)

Exemplo

```

File Edit View Run Kernel Tabs Settings Help

Terminal 1
$ root -l /opendata/eos/opendata/cms/Run2016G/DoubleMuon/NANOAO
D/UL2016_MiniAODv2_NanoAODv9-v2/2430000/ED3359B9-BF1E-044C-8418-ACDDE2B11FF0.root
root [0]
Attaching file /opendata/eos/opendata/cms/Run2016G/DoubleMuon/NANOAO/UL2016_MiniAOD
v2_NanoAODv9-v2/2430000/ED3359B9-BF1E-044C-8418-ACDDE2B11FF0.root as _file0...
Warning in <TClass::Init>: no dictionary for class edm::Hash<1> is available
Warning in <TClass::Init>: no dictionary for class edm::ParameterSetBlob is availabl
e
Warning in <TClass::Init>: no dictionary for class edm::ProcessHistory is available
Warning in <TClass::Init>: no dictionary for class edm::ProcessConfiguration is avai
lable
Warning in <TClass::Init>: no dictionary for class pair<edm::Hash<1>,edm::ParameterS
etBlob> is available
(TFile *) 0x5577c1aa2700
root [1] TTree *t = (TTree*)_file0->Get("Events")
(TTree *) 0x5577c2110ac0
root [2] t->Draw("Muon_pt>>hnew")
Info in <TCanvas::MakeDefCanvas>: created default TCanvas with n
^[[Aroot hnew->SetXTitle("muon pt (GeV)")
root [4] hnew->SetYTitle("numero de muons")
root [5] c1->SaveAs("histo_pt.png")
Info in <TCanvas::Print>: png file histo_pt.png has been created
root [6] c1->SetLogY()
root [7] c1->SaveAs("histo_pt_logY.png")
Info in <TCanvas::Print>: png file histo pt logY.png has been created

```

- **root -l arquivo.root**
- **TTree *t = (TTree*)_file0->Get("Events")**
- **t->Draw("Muon_pt>>hnew")**
- **c1->SaveAs("histo_pt.png")**
- **c1->SetLogY()**
- **c1->SaveAs("histo_pt_logY.png")**

Energia Faltante Transversa

- Se partículas invisíveis são criadas, apenas o seu momentum transversal pode ser limitado: falta de energia transversa.

$$E_T^{\text{miss}} = \sum p_T(i)$$

- Se uma partícula pesada é produzido e decai em duas partículas um dos quais é invisível, a massa da partícula principal pode ser restringida com a quantidade de massa transversa.

$$\begin{aligned} M_T^2 &\equiv [E_T(1) + E_T(2)]^2 - [\mathbf{p}_T(1) + \mathbf{p}_T(2)]^2 \\ &= m_1^2 + m_2^2 + 2[E_T(1)E_T(2) - \mathbf{p}_T(1) \cdot \mathbf{p}_T(2)] \end{aligned}$$

$$m_1 = m_2 = 0 \quad M_T^2 = 2|\mathbf{p}_T(1)||\mathbf{p}_T(2)|(1 - \cos \phi_{12})$$

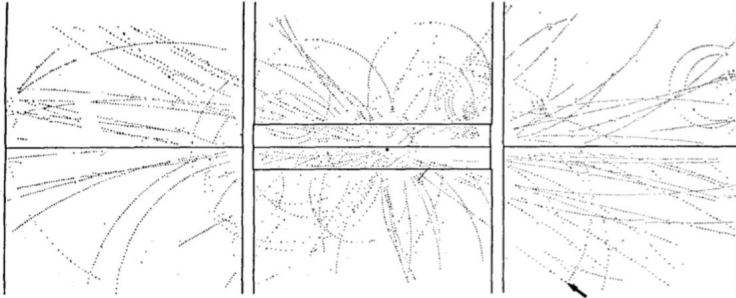
Descoberta do $W \rightarrow e^+ \nu_{e^+}$

Volume 122B, number 1

PHYSICS LETTERS

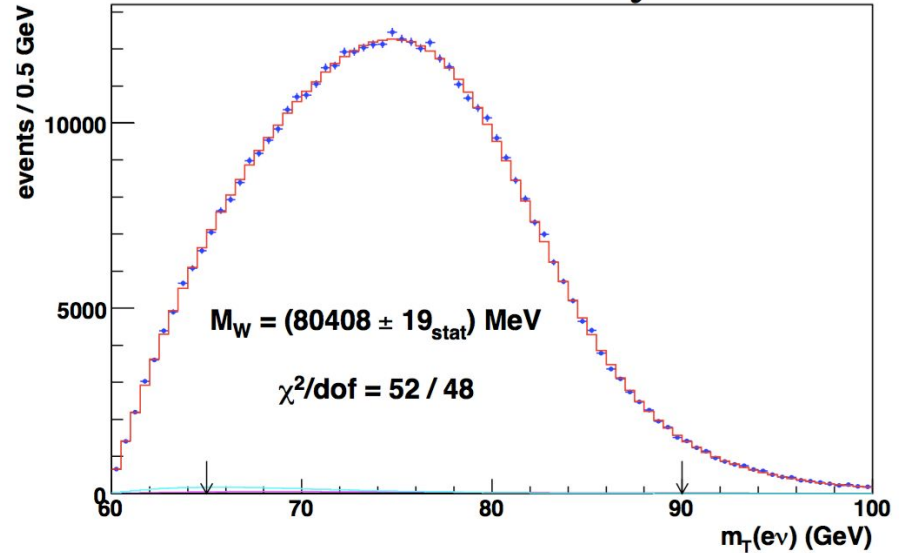
24 February 1983

a
EVENT 2958. 1279.



CDF II preliminary

$\int L dt \approx 2.2 \text{ fb}^{-1}$



Bibliografia Sugerida

- E. Byckling and K. Kajantie - Particle Kinematics, March 1971, Finland.
- R. Hagedorn - Relativistic Kinematics: A guide to the Kinematic problems of High Energy Physics
- <https://pdg.lbl.gov/2015/reviews/rpp2015-rev-kinematics.pdf>
- <https://root.cern.ch/root/html534/guides/users-guide/Trees.html#using-ttreetmakedclass>
- <https://github.com/cms-opendata-analyses/NanoAODRun1Examples>
- <https://opendata.cern.ch/docs/cms-getting-started-nanoaod>